

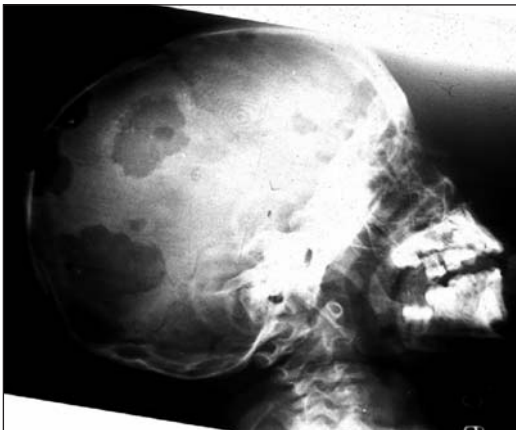
Graciela Graziano, Cynthia Urroz, Fernando Gentile

En numerosas ocasiones, el médico radiólogo se encuentra en la situación de evaluar placas radiográficas de pacientes con escasos o nulos antecedentes clínicos.

El objetivo de esta Sección consiste en intentar establecer asociaciones de signos e imágenes radiológicas estableciendo patrones de inclusión-exclusión, a fin de acercar un diagnóstico radiológico presuntivo.

Caso 1

Niño de 4 años de edad con lumbalgia.



Imágenes radiolúcidas en calota craneana.



Aplanamiento X
vértebra dorsal.

Caso 2

Lactante de 3 meses de edad con llanto persistente.



Huesos wormianos en calota craneana.



Aplanamiento VIII
vértebra dorsal.

Diagnósticos diferenciales

Columna vertebral

1. Traumatismo
2. Tuberculosis, osteomielitis
3. Histiocitosis X
4. Enfermedad de Scheurmann
5. Osteogénesis imperfecta
6. Enfermedad de Morquio

División
de Diagnóstico
por Imágenes
Hospital de Niños
"Ricardo Gutiérrez"
Gallo 1330 (1425)
Buenos Aires,
Argentina

Cráneo

1. Epidermoidoma (colesteatoma primario)
2. Histiocitosis X
3. Cráneo lacunar
4. Disostosis cleidocraneal
5. Osteogénesis imperfecta

En ambos pacientes, se visualizan imágenes similares de aplanamiento vertebral (vértebra plana) que respeta los discos intervertebrales. Sin embargo, son las imágenes craneanas las que establecen el diagnóstico.

Caso 1. Histiocitosis X

Se observan múltiples imágenes radiolúcidas en la calota craneana, en "cráneo geográfico". No existe reborde escleroso en las imágenes líticas. En la columna vertebral, se detecta platispondilia con colapso vertebral completo (vértebra plana), no en cuña, que respeta los espacios discuales.

Caso 2. Osteogénesis imperfecta

Múltiples huesos wormianos en cráneo, en área occipital. No se visualizan trazos fracturarios, ni imágenes patológicas.

Aplastamiento vertebral con colapso completo sin disminución del espacio discal.

Diagnósticos diferenciales por considerar en las imágenes vertebrales

Traumatismo: Deformidad en cuña anterior con hundimiento de su plataforma superior.

Tuberculosis, osteomielitis: Involucra el cuerpo y el disco intervertebral contiguo.

Enfermedad de Scheurmann: Deformidades en cuña a nivel dorsal con irregularidad de las

plataformas vertebrales. Causa de cifosis en el adolescente.

Enfermedad de Morquio: Aplanamiento generalizado de los cuerpos vertebrales a predominio cervical y lumbar.

Diagnósticos diferenciales por considerar en las imágenes de cráneo

Cráneo lacunar: Grandes áreas de adelgazamiento y disminución de la densidad ósea de la calota craneal, generalmente asociada a patología tipo meningocele, malformación de Arnold-Chiari o hidrocefalia.

Epidermoidoma (colesteatoma primario): Imagen benigna lítica redondeada con reborde esclerótico periférico, secundaria a defecto congénito causado por inclusión de tejido epitelial dentro del espacio diploico.

Histiocitosis: Áreas líticas radiolúcidas única o múltiples en sacabocados con reborde no escleroso y, a menudo, biselado.

Huesos wormianos: Pequeños huesos supernumerarios, tipo islotes óseos, rodeados de suturas (lambdoidea) frecuentes en las siguientes patologías: osteogénesis imperfecta, disostosis cleidocraneal (osificación defectuosa congénita de calota, clavículas y pelvis), picnodisostosis e hipofosfatasa.

Bibliografía sugerida

1. Siegel MJ, Coley BD. *Radiología Pediátrica*, Buenos Aires: Editorial Journal; 2008:421-423.
2. Rabinovitz JG. *Radiología Pediátrica*, Buenos Aires: Editorial Intermédica; 1981:292-293.
3. Caffey J. *Diagnóstico Radiológico en Pediatría*, 3ª ed. Barcelona: Salvat; 1982:1617.
4. Eisenberg RL. *Atlas de Diagnóstico Diferencial por la Imagen*, Editorial Consulta; 2001.